

# Matematici Asistate de Calculator

Dr. Călin-Adrian POPA

## Cursul 2

20 Februarie 2019

## 2.2 Iterația de punct fix

- folosiți un calculator pentru a aplica funcția  $\cos$  în mod repetat unui număr inițial arbitrar ales
- mai exact, aplicați funcția  $\cos$  numărului inițial, apoi aplicați  $\cos$  rezultatului, apoi noului rezultat, și așa mai departe
- continuați până când cifrele nu se mai modifică deloc
- șirul de numere rezultat va converge la 0.7390851332, cel puțin cu 10 zecimale exacte
- în această secțiune, scopul nostru este de a explica de ce acest calcul, care este un exemplu de iterație de punct fix, converge
- în timp ce facem acest lucru, majoritatea problemelor de convergență ale algoritmului vor fi puse în discuție

## 2.2.1 Punctele fixe ale unei funcții

- șirul de numere rezultat în urma iterării funcției cosinus pare să convergă la un număr  $r$
- aplicări ulterioare ale funcției cosinus nu schimbă acest număr
- pentru această intrare, ieșirea funcției cosinus este egală cu intrarea, sau  $\cos r = r$

### Definiția 1

Numărul real  $r$  este un **punct fix** al funcției  $g$  dacă  $g(r) = r$ .

- numărul  $r = 0.7390851332$  este o aproximare a punctului fix al funcției  $g(x) = \cos x$
- funcția  $g(x) = x^3$  are trei puncte fixe,  $r = -1, 0$  și  $1$
- am folosit metoda biseției pentru a rezolva ecuația  $\cos x - x = 0$
- ecuația de punct fix  $\cos x = x$  este aceeași problemă, însă dintr-un alt punct de vedere
- când ieșirea este egală cu intrarea, acel număr este un punct fix al funcției  $\cos x$ , și, în același timp, o soluție a ecuației  $\cos x - x = 0$
- de îndată ce ecuația este scrisă ca  $g(x) = x$ , iterația de punct fix începe cu o valoare inițială  $x_0$  și iterează funcția  $g$

## 2.2.1 Punctele fixe ale unei funcții

### Algoritmul 1 (Iterația de punct fix)

$x_0$  = valoarea inițială

$x_{i+1} = g(x_i)$  **for**  $i = 0, 1, 2, \dots$

- prin urmare,

$$x_1 = g(x_0)$$

$$x_2 = g(x_1)$$

$$x_3 = g(x_2)$$

$$\vdots$$

și așa mai departe

- șirul  $x_i$  poate să convergă sau nu pe măsură ce numărul de pași tinde la infinit
- însă, dacă  $g$  este continuă și  $x_i$  converge, de exemplu, la un număr  $r$ , atunci  $r$  este un punct fix

## 2.2.1 Punctele fixe ale unei funcții

- de fapt, Teorema 1 implică

$$g(r) = g\left(\lim_{i \rightarrow \infty} x_i\right) = \lim_{i \rightarrow \infty} g(x_i) = \lim_{i \rightarrow \infty} x_{i+1} = r. \quad (1)$$

### Teorema 1 (Limite continue)

Fie  $f$  o funcție continuă într-o vecinătate a lui  $x_0$ , și presupunem că  $\lim_{n \rightarrow \infty} x_n = x_0$ . Atunci

$$\lim_{n \rightarrow \infty} f(x_n) = f\left(\lim_{n \rightarrow \infty} x_n\right) = f(x_0).$$

Cu alte cuvinte, limitele pot fi introduse în interiorul funcțiilor continue.

- iterația de punct fix rezolvă problema de punct fix  $g(x) = x$ , însă noi suntem interesați în principal de rezolvarea ecuațiilor
- se pune întrebarea: orice ecuație  $f(x) = 0$  poate fi transformată într-o problemă de punct fix  $g(x) = x$ ?
- răspunsul este da, și în multe feluri diferite

## 2.2.1 Punctele fixe ale unei funcții

- de exemplu, ecuația

$$x^3 + x - 1 = 0, \quad (2)$$

poate fi rescrisă sub forma

$$x = 1 - x^3, \quad (3)$$

și putem să definim  $g(x) = 1 - x^3$

- ca o alternativă, termenul  $x^3$  din (2) poate fi izolat, rezultând astfel

$$x = \sqrt[3]{1 - x}, \quad (4)$$

unde  $g(x) = \sqrt[3]{1 - x}$

- ca o a treia și nu foarte evidentă abordare, putem să adunăm  $2x^3$  în ambii termeni ai ecuației (2), obținând

$$\begin{aligned} 3x^3 + x &= 1 + 2x^3 \\ (3x^2 + 1)x &= 1 + 2x^3 \\ x &= \frac{1 + 2x^3}{1 + 3x^2} \end{aligned} \quad (5)$$

și definim  $g(x) = (1 + 2x^3)/(1 + 3x^2)$

## 2.2.1 Punctele fixe ale unei funcții

- în cele ce urmează, vom ilustra iterația de punct fix pentru cele trei alegeri anterioare ale lui  $g(x)$
- ecuația care trebuie rezolvată este  $x^3 + x - 1 = 0$
- mai întâi vom considera forma  $x = g(x) = 1 - x^3$
- punctul inițial  $x_0 = 0.5$  este ales arbitrar

## 2.2.1 Punctele fixe ale unei funcții

- aplicând IPF obținem următorul rezultat:

$i$	$x_i$
0	0.50000000
1	0.87500000
2	0.33007813
3	0.96403747
4	0.10405419
5	0.99887338
6	0.00337606
7	0.99999996
8	0.00000012
9	1.00000000
10	0.00000000
11	1.00000000
12	0.00000000

- în loc să convergă, iterația tinde să alterneze între numerele 0 și 1
- niciunul dintre ele nu este un punct fix, deoarece  $g(0) = 1$  și  $g(1) = 0$
- iterația de punct fix eșuează



## 2.2.1 Punctele fixe ale unei funcții

- în metoda biseției, știm că dacă  $f$  este continuă și  $f(a)f(b) < 0$  pe intervalul inițial, atunci trebuie să vedem o convergență către rădăcină
- acest lucru nu se întâmplă pentru IPF
- a doua variantă este  $g(x) = \sqrt[3]{1-x}$
- vom menține aceeași valoare inițială,  $x_0 = 0.5$

## 2.2.1 Punctele fixe ale unei funcții

$i$	$x_i$
0	0.50000000
1	0.79370053
2	0.59088011
3	0.74236393
4	0.63631020
5	0.71380081
6	0.65900615
7	0.69863261
8	0.67044850
9	0.69072912
10	0.67625892
11	0.68664554
12	0.67922234

$i$	$x_i$
13	0.68454401
14	0.68073737
15	0.68346460
16	0.68151292
17	0.68291073
18	0.68191019
19	0.68262667
20	0.68211376
21	0.68248102
22	0.68221809
23	0.68240635
24	0.68227157
25	0.68236807

- de această dată, IPF înregistrează o reușită
- iterațiile par să convergă către un număr apropiat de 0.6823

## 2.2.1 Punctele fixe ale unei funcții

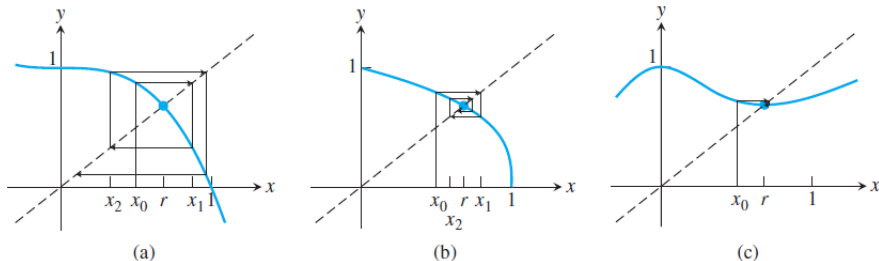
- în final, vom folosi rearanjarea  $x = g(x) = (1 + 2x^3)/(1 + 3x^2)$
- ca în cazul anterior, există convergență, dar într-un mod mult mai izbitor

$i$	$x_i$
0	0.50000000
1	0.71428571
2	0.68317972
3	0.68232842
4	0.68232780
5	0.68232780
6	0.68232780
7	0.68232780

- aici avem patru zecimale exacte după patru iterații ale IPF, și mult mai multe zecimale exacte imediat după
- comparând cu încercările anterioare, acesta este un rezultat uimitor
- următorul nostru obiectiv este acela de a încerca să explicăm diferențele dintre cele trei rezultate

## 2.2.2 Geometria iterației de punct fix

- în subsecțiunea anterioară, am găsit trei moduri diferite de a rescrie ecuația  $x^3 + x - 1 = 0$  ca o problemă de punct fix, cu rezultate diferite
- pentru a afla de ce metoda IPF converge în anumite situații și nu în altele, este folositor să ne uităm la geometria metodei



**Figura 1: Geometria IPF.** Punctul fix este intersecția lui  $g(x)$  cu prima bisectoare. Trei exemple pentru  $g(x)$  sunt prezentate împreună cu primii pași ai metodei IPF. (a)  $g(x) = 1 - x^3$  (b)  $g(x) = (1 - x)^{1/3}$  (c)  $g(x) = (1 + 2x^3)/(1 + 3x^2)$

## 2.2.2 Geometria iterației de punct fix

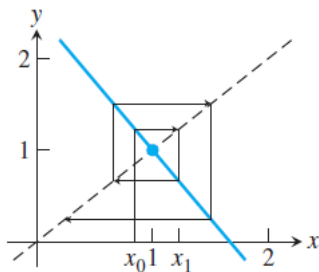
- Figura 1 prezintă cele trei variante pentru  $g(x)$  discutate mai sus, împreună cu o ilustrare a primilor pași ai metodei IPF în fiecare caz
- punctul fix  $r$  este același pentru fiecare  $g(x)$
- el este reprezentat prin punctul în care graficele lui  $y = g(x)$  și  $y = x$  se intersectează
- fiecare pas din IPF poate fi schițat prin desenarea unor segmente de dreaptă (1) **verticale la funcție** și apoi (2) **orizontale la prima bisectoare**  $y = x$
- săgețile verticale și orizontale din Figura 1 urmăresc pașii făcuți de către IPF
- săgeata verticală care se mișcă de la axa  $x$  la funcția  $g$  reprezintă  $x_i \rightarrow g(x_i)$
- săgeata orizontală reprezintă transformarea ieșirii  $g(x_i)$  de pe axa  $y$  în același număr  $x_{i+1}$  de pe axa  $x$ , gata de a fi intrarea funcției  $g$  în pasul următor
- acest lucru este realizat prin desenarea segmentului orizontal de la înălțimea de ieșire  $g(x_i)$  până la prima bisectoare  $y = x$
- această ilustrare geometrică a iterației de punct fix se numește **diagramă cobweb**

## 2.2.2 Geometria iterației de punct fix

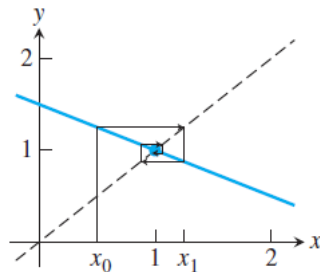
- în Figura 1(a), traiectoria începe de la  $x_0 = 0.5$ , și se mișcă în sus până la funcție și orizontal până la punctul  $(0.875, 0.875)$  de pe prima bisectoare, care este  $(x_1, x_1)$
- apoi,  $x_1$  va trebui să fie înlocuit în  $g(x)$
- acest lucru se face la fel cum a fost făcut pentru  $x_0$ , cu o mișcare verticală până la funcție
- se obține  $x_2 \approx 0.3300$ , și după o mișcare orizontală pentru a transforma valoarea  $y$  în valoare  $x$ , continuăm în aceeași manieră și obținem  $x_3, x_4, \dots$
- după cum am văzut mai devreme, rezultatul IPF pentru acest  $g(x)$  nu înregistrează o reușită—iterațiile tind în cele din urmă spre o alternare între 0 și 1, niciunul dintre acestea nefiind punct fix
- iterația de punct fix înregistrează o reușită în Figura 1(b)
- deși funcția  $g(x)$  arată asemănător cu funcția  $g(x)$  din cazul (a), există o diferență semnificativă, care va fi clarificată în subsecțiunea următoare
- se poate specula asupra a ceea ce reprezintă această diferență
- ce face IPF să converge către punctul fix în (b), și să diverge de la punctul fix în (a)?

## 2.2.2 Geometria iterației de punct fix

- Figura 1(c) arată un exemplu de convergență foarte rapidă
- ajută această imagine în cadrul speculației?
- dacă ați ghicit că este ceva care are de a face cu panta lui  $g(x)$  în apropierea punctului fix, aveți dreptate



(a)



(b)

**Figura 2: Diagrama cobweb pentru funcții liniare.** (a) Dacă funcția liniară are panta mai mare decât 1 în valoare absolută, valori inițiale din apropierea punctului se depărtează de punctul fix pe măsură ce IPF progresează, ceea ce duce la eșecul metodei. (b) Pentru o pantă mai mică decât 1 în valoare absolută, are loc fenomenul invers, și punctul fix este găsit.

## 2.2.3 Convergența liniară a iterației de punct fix

- proprietățile de convergență ale IPF pot fi ușor explicate la o privire atentă asupra algoritmului în cea mai simplă situație
- Figura 2 prezintă iterația de punct fix pentru două funcții liniare  $g_1(x) = -\frac{3}{2}x + \frac{5}{2}$  și  $g_2(x) = -\frac{1}{2}x + \frac{3}{2}$
- în fiecare caz, punctul fix este  $x = 1$ , dar  $|g'_1(1)| = |-\frac{3}{2}| > 1$  pe când  $|g'_2(1)| = |-\frac{1}{2}| < 1$
- urmărind săgețile verticale și orizontale care descriu IPF, vedem motivul acestei diferențe
- deoarece panta lui  $g_1$  în punctul fix este mai mare decât 1, segmentele verticale, cele care reprezintă trecerea de la  $x_n$  la  $x_{n+1}$ , cresc în lungime pe măsură ce IPF avansează
- ca o consecință, iterația se depărtează de la punctul fix  $x = 1$ , chiar dacă valoarea inițială  $x_0$  a fost destul de aproape
- pentru  $g_2$ , situația este inversată: panta lui  $g_2$  este mai mică decât 1, lungimea segmentelor verticale se diminuează, iar IPF se apropie de soluție
- prin urmare, valoarea lui  $|g'(r)|$  face diferența crucială între divergență și convergență
- aceasta este perspectiva geometrică



## 2.2.3 Convergența liniară a iterației de punct fix

- în termeni de ecuații, este util să scriem  $g_1(x)$  și  $g_2(x)$  în funcție de  $x - r$ , unde  $r = 1$  este punctul fix:

$$\begin{aligned}g_1(x) &= -\frac{3}{2}(x - 1) + 1 \\g_1(x) - 1 &= -\frac{3}{2}(x - 1) \\x_{i+1} - 1 &= -\frac{3}{2}(x_i - 1).\end{aligned}\tag{6}$$

- dacă privim pe  $e_i = |r - x_i|$  ca fiind eroarea la pasul  $i$  (reprezentând distanța dintre cea mai bună aproximare la pasul  $i$  și punctul fix), vedem din (6) că  $e_{i+1} = 3e_i/2$ , ceea ce implică o creștere a erorii la fiecare pas cu un factor de aproximativ  $3/2$
- aceasta este divergența

## 2.2.3 Convergența liniară a iterației de punct fix

- repetând calculele anterioare pentru  $g_2$ , avem

$$g_2(x) = -\frac{1}{2}(x-1) + 1$$

$$g_2(x) - 1 = -\frac{1}{2}(x-1)$$

$$x_{i+1} - 1 = -\frac{1}{2}(x_i - 1).$$

- rezultatul este  $e_{i+1} = e_i/2$ , ceea ce implică faptul că eroarea, și anume distanța până la punctul fix, este înmulțită cu  $1/2$  la fiecare pas
- eroarea descrește la zero pe măsură ce numărul de pași crește
- aceasta este convergența de un anumit tip

### Definiția 2

Fie  $e_i$  eroarea la pasul  $i$  al unei metode iterative. Dacă

$$\lim_{i \rightarrow \infty} \frac{e_{i+1}}{e_i} = S < 1,$$

se spune că metoda este **liniar convergentă** cu rata  $S$ .

## 2.2.3 Convergența liniară a iterației de punct fix

- iterația de punct fix pentru  $g_2$  este liniar convergentă la rădăcina  $r = 1$  cu rata  $S = 1/2$
- deși discuția anterioară a fost simplificată de faptul că  $g_1$  și  $g_2$  sunt liniare, același tip de raționament se aplică unei funcții generale derivabilă cu derivata continuă  $g(x)$  cu punctul fix  $g(r) = r$ , după cum se arată în următoarea teoremă

### Teorema 2

Să presupunem că  $g$  este o funcție derivabilă cu derivata continuă, că  $g(r) = r$ , și că  $S = |g'(r)| < 1$ . Atunci iterația de punct fix converge liniar cu rata  $S$  la punctul fix  $r$  pentru o valoare inițială suficient de apropiată de  $r$ .

### Teorema 3 (Teorema de medie)

Fie  $f$  o funcție derivabilă cu derivata continuă pe intervalul  $[a, b]$ . Atunci există un număr  $c$  între  $a$  și  $b$  astfel încât

$$f'(c) = (f(b) - f(a)) / (b - a).$$

## 2.2.3 Convergența liniară a iterației de punct fix

- fie  $x_i$  iterația lui  $x$  la pasul  $i$
- conform teoremei de medie 3, există un număr  $c_i$  între  $x_i$  și  $r$  astfel încât

$$x_{i+1} - r = g'(c_i)(x_i - r), \quad (7)$$

unde am înlocuit pe  $x_{i+1} = g(x_i)$  și  $r = g(r)$

- definind  $e_i = |x_i - r|$ , (7) poate fi scris sub forma

$$e_{i+1} = |g'(c_i)|e_i. \quad (8)$$

- dacă  $S = |g'(r)|$  este mai mic decât 1, atunci din continuitatea lui  $g'$ , există o vecinătate mică în jurul lui  $r$  pentru care  $|g'(x)| < (S + 1)/2$ , limită puțin mai mare decât  $S$ , dar totuși mai mică decât 1
- dacă se întâmplă ca  $x_i$  să se afle în această vecinătate, atunci și  $c_i$  se află în această vecinătate (fiind situat între  $x_i$  și  $r$ ), și astfel

$$e_{i+1} \leq \frac{S + 1}{2} e_i.$$

- prin urmare, eroarea descrește cu un factor de  $(S + 1)/2$  sau mai bun în pasul curent și în fiecare pas viitor

## 2.2.3 Convergența liniară a iterației de punct fix

- aceasta înseamnă că  $\lim_{i \rightarrow \infty} x_i = r$ , și trecând la limită în (8), obținem

$$\lim_{i \rightarrow \infty} \frac{e_{i+1}}{e_i} = \lim_{i \rightarrow \infty} |g'(c_i)| = |g'(r)| = S.$$

- conform Teoremei 2, relația aproximativă pentru eroare

$$e_{i+1} \approx S e_i \tag{9}$$

are loc la limită pe măsură ce se apropie convergența, unde  $S = |g'(r)|$

### Definiția 3

O metodă iterativă se numește **local convergentă** la  $r$  dacă metoda converge la  $r$  pentru valori inițiale suficient de apropiate de  $r$ .

- cu alte cuvinte, metoda este local convergentă la rădăcina  $r$ , dacă există o vecinătate  $(r - \epsilon, r + \epsilon)$ , unde  $\epsilon > 0$ , astfel încât convergența la  $r$  rezultă din toate valorile inițiale din vecinătate
- concluzia Teoremei 2 este că iterația de punct fix este local convergentă dacă  $|g'(r)| < 1$

## 2.2.3 Convergența liniară a iterației de punct fix

- Teorema 2 explică ce s-a întâmplat în rulările anterioare ale iterației de punct fix pentru  $f(x) = x^3 + x - 1 = 0$
- știm că rădăcina este  $r \approx 0.6823$
- pentru  $g(x) = 1 - x^3$ , derivata este  $g'(x) = -3x^2$
- în apropierea rădăcinii  $r$ , IPF are comportarea  $e_{i+1} \approx Se_i$ , unde  $S = |g'(r)| = |-3(0.6823)^2| \approx 1.3966 > 1$ , deci erorile cresc, și prin urmare nu poate exista convergență
- există garanția că această relație pentru eroare între  $e_{i+1}$  și  $e_i$  are loc doar în apropierea lui  $r$ , dar înseamnă totuși că o convergență la  $r$  nu poate avea loc
- pentru a doua alegere,  $g(x) = \sqrt[3]{1-x}$ , derivata este  $g'(x) = 1/3(1-x)^{-2/3}(-1)$ , și  $S = |(1 - 0.6823)^{-2/3}/3| \approx 0.716 < 1$
- Teorema 2 implică existența convergenței, exact cum am obținut în calculele noastre anterioare

## 2.2.3 Convergența liniară a iterației de punct fix

- pentru a treia alegere,  $g(x) = (1 + 2x^3)/(1 + 3x^2)$ ,

$$\begin{aligned}g'(x) &= \frac{6x^2(1 + 3x^2) - (1 + 2x^3)6x}{(1 + 3x^2)^2} \\&= \frac{6x(x^3 + x - 1)}{(1 + 3x^2)^2},\end{aligned}$$

și  $S = |g'(r)| = 0$

- aceasta este cea mai mică valoare posibilă a lui  $S$ , ceea ce duce la convergența foarte rapidă observată în Figura 1(c)

### Exemplul 1

- explicați de ce iterația de punct fix  $g(x) = \cos x$  converge
- aceasta este explicația promisă mai sus
- aplicarea repetată a funcției cosinus pe un calculator corespunde unei IPF cu  $g(x) = \cos x$
- conform Teoremei 2, soluția  $r \approx 0.74$  atrage valorile inițiale aflate în apropiere, deoarece  $g'(r) = -\sin r \approx -\sin 0.74 \approx -0.67$  este mai mic decât 1 în valoare absolută

## 2.2.3 Convergența liniară a iterației de punct fix

### Exemplu 2

- folosiți iterația de punct fix pentru a găsi o soluție a ecuației  $\cos x = \sin x$
- cea mai simplă metodă de a converti această ecuație într-o problemă de punct fix este de a aduna  $x$  la ambii termeni ai ecuației
- putem rescrie problema ca  $x + \cos x - \sin x = x$  și defini

$$g(x) = x + \cos x - \sin x. \quad (10)$$

- rezultatul aplicării iterației de punct fix pentru funcția  $g(x)$  este prezentat în tabelul următor



## 2.2.3 Convergența liniară a iterației de punct fix

$i$	$x_i$	$g(x_i)$	$e_i =  x_i - r $	$e_i/e_{i-1}$
0	0.0000000	1.0000000	0.7853982	
1	1.0000000	0.6988313	0.2146018	0.273
2	0.6988313	0.8211025	0.0865669	0.403
3	0.8211025	0.7706197	0.0357043	0.412
4	0.7706197	0.7915189	0.0147785	0.414
5	0.7915189	0.7828629	0.0061207	0.414
6	0.7828629	0.7864483	0.0025353	0.414
7	0.7864483	0.7849632	0.0010501	0.414
8	0.7849632	0.7855783	0.0004350	0.414
9	0.7855783	0.7853235	0.0001801	0.414
10	0.7853235	0.7854291	0.0000747	0.415
11	0.7854291	0.7853854	0.0000309	0.414
12	0.7853854	0.7854035	0.0000128	0.414
13	0.7854035	0.7853960	0.0000053	0.414
14	0.7853960	0.7853991	0.0000022	0.415

## 2.2.3 Convergența liniară a iterației de punct fix

$i$	$x_i$	$g(x_i)$	$e_i =  x_i - r $	$e_i/e_{i-1}$
15	0.7853991	0.7853978	0.0000009	0.409
16	0.7853978	0.7853983	0.0000004	0.444
17	0.7853983	0.7853981	0.0000001	0.250
18	0.7853981	0.7853982	0.0000001	1.000
19	0.7853982	0.7853982	0.0000000	

- există mai multe lucruri interesante care pot fi observate în tabel
- în primul rând, iterația pare să convergă la 0.7853982
- deoarece  $\cos \pi/4 = \sqrt{2}/2 = \sin \pi/4$ , soluția exactă a ecuației  $\cos x - \sin x = 0$  este  $r = \pi/4 \approx 0.7853982$
- a patra coloană este „coloana de eroare”
- ea prezintă valoarea absolută a diferenței dintre cea mai bună aproximație  $x_i$  la pasul  $i$  și valoarea exactă a punctului fix  $r$
- această diferență devine mică în partea de jos a tabelului, indicând convergența către punctul fix

## 2.2.3 Convergența liniară a iterației de punct fix

- observăm tiparul care apare în coloana de eroare
- erorile par să descrească cu un factor constant, fiecare eroare fiind mai puțin decât jumătate din eroarea anterioară
- pentru a fi mai preciși, raportul dintre erori succesive este prezentat în ultima coloană
- în cea mai mare parte a tabelului, vedem că raportul erorilor succesive  $e_i/e_{i-1}$  se apropie de un număr constant, aproximativ egal cu 0.414
- cu alte cuvinte, observăm relația de convergență liniară

$$e_i \approx 0.414e_{i-1}. \quad (11)$$

- acest lucru este exact ceea ce era de așteptat, deoarece Teorema 2 implică

$$S = |g'(r)| = |1 - \sin r - \cos r| = \left| 1 - \frac{\sqrt{2}}{2} - \frac{\sqrt{2}}{2} \right| = |1 - \sqrt{2}| \approx 0.414.$$

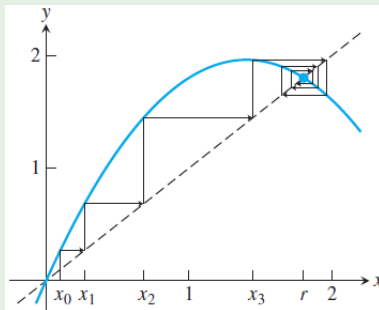
## 2.2.3 Convergența liniară a iterației de punct fix

- cititorul atent va observa o discrepanță spre finalul tabelului
- am folosit doar șapte zecimale exacte pentru punctul fix corect  $r$  pentru calculul erorilor  $e_i$
- ca o consecință, precizia relativă a lui  $e_i$  este slabă pe măsură ce  $e_i$  se apropie de  $10^{-8}$ , și rapoartele  $e_i/e_{i-1}$  devin inexacte
- această problemă ar dispărea dacă am folosi o valoare mai precisă pentru  $r$

### Exemplul 3

- găsiți punctele fixe ale funcției  $g(x) = 2.8x - x^2$
- funcția  $g(x) = 2.8x - x^2$  are două puncte fixe 0 și 1.8, care pot fi determinate rezolvând analitic ecuația  $g(x) = x$ , sau observând unde se intersectează graficele funcțiilor  $y = g(x)$  și  $y = x$
- Figura 3 prezintă o diagramă cobweb a IPF cu valoarea inițială  $x_0 = 0.1$

## 2.2.3 Convergența liniară a iterației de punct fix



**Figura 3: Diagrama cobweb pentru iterația de punct fix.** Exemplul 3 are două puncte fixe, 0 și 1.8. O iterație cu valoarea inițială 0.1 este prezentată. Iterația de punct fix va converge doar la 1.8.

## 2.2.3 Convergența liniară a iterației de punct fix

- pentru acest exemplu, iterațiile

$$x_0 = 0.1000$$

$$x_1 = 0.2700$$

$$x_2 = 0.6831$$

$$x_3 = 1.4461$$

$$x_4 = 1.9579,$$

pot fi citite ca intersecții de-a lungul primei bisectoare

- deși punctul inițial  $x_0 = 0.1$  este în apropierea punctului fix 0, IPF se mișcă spre celălalt punct fix  $x = 1.8$  și converge acolo
- diferența dintre cele două puncte fixe este că panta lui  $g$  în  $x = 1.8$ , dată prin  $g'(1.8) = -0.8$ , este mai mică decât 1 în valoare absolută
- pe de altă parte, panta lui  $g$  în celălalt punct fix  $x = 0$ , cel care respinge punctele, este  $g'(0) = 2.8$ , care este mai mare decât 1 în valoare absolută

## 2.2.4 Criterii de oprire

- spre deosebire de metoda biseecției, numărul de pași necesari pentru convergența IPF în limitele unei toleranțe date nu poate fi prezisă dinainte
- în absența unei formule de eroare cum este cea pentru metoda biseecției, o decizie trebuie luată cu privire la încheierea algoritmului, numită **criteriu de oprire**
- pentru o anumite toleranță TOL, putem formula un criteriu de oprire cu privire la eroarea absolută

$$|x_{i+1} - x_i| < \text{TOL}, \quad (12)$$

sau, în cazul în care soluția nu este prea aproape de zero, un criteriu de oprire cu privire la eroarea relativă

$$\frac{|x_{i+1} - x_i|}{|x_{i+1}|} < \text{TOL}. \quad (13)$$

## 2.2.4 Criterii de oprire

- un criteriu hibrid cu privire la eroarea absolută/relativă

$$\frac{|x_{i+1} - x_i|}{\max(|x_{i+1}|, \theta)} < \text{TOL} \quad (14)$$

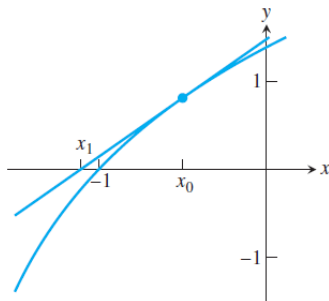
pentru un anumit  $\theta > 0$  este adesea folositor în cazul în care soluția este apropiată de 0

- în plus, un cod bun pentru IPF setează o limită a numărului maxim de pași în cazul în care convergența eșuează
- problema criteriului de oprire este una importantă
- metoda bisecției are o convergență liniară garantată
- iterația de punct fix este doar local convergentă, iar atunci când converge, este liniar convergentă
- ambele metode necesită o evaluare de funcție la fiecare pas
- metoda bisecției reduce incertitudinea cu un factor de  $1/2$  la fiecare pas, prin comparație cu aproximativ  $S = |g'(r)|$  pentru IPF
- prin urmare, iterația de punct fix poate fi mai rapidă sau mai lentă decât metoda bisecției, depinzând dacă  $S$  este mai mic sau mai mare decât  $1/2$
- vom studia metoda lui Newton, o versiune rafinată a IPF, unde  $S$  este proiectat să fie egal cu zero



## 2.3 Metoda lui Newton

- metoda lui Newton, denumită de asemenea metoda Newton–Raphson, converge de obicei mult mai repede decât metodele liniar convergente pe care le-am văzut mai sus
- perspectiva geometrică a metodei lui Newton este prezentată în Figura 4



**Figura 4: Un pas pentru metoda lui Newton.** Pornind de la  $x_0$ , dreapta tangentă la curba  $y = f(x)$  este trasată. Punctul de intersecție cu axa  $x$  este  $x_1$ , următoarea aproximare a rădăcinii.

## 2.3 Metoda lui Newton

- pentru a găsi o rădăcină a lui  $f(x) = 0$ , o valoare inițială  $x_0$  este dată, și dreapta tangentă la funcția  $f$  în punctul  $x_0$  este trasată
- dreapta tangentă va urmări aproximativ funcția până jos la axa  $x$  spre rădăcină
- punctul de intersecție al acestei drepte cu axa  $x$  este o aproximare a rădăcinii, dar probabil nu este exactă dacă  $f$  se curbează
- prin urmare, acest pas este iterat
- din perspectiva geometrică, putem dezvolta o formulă algebrică pentru metoda lui Newton
- dreapta tangentă în  $x_0$  are panta dată de derivata  $f'(x_0)$
- un punct de pe dreapta tangentă este  $(x_0, f(x_0))$

## 2.3 Metoda lui Newton

- ecuația unei drepte care trece printr-un punct și are o anumită pantă este  $y - f(x_0) = f'(x_0)(x - x_0)$ , astfel încât găsirea punctului de intersecție al dreptei tangente cu axa  $x$  este echivalent cu înlocuirea lui  $y = 0$  în această ecuație:

$$\begin{aligned}f'(x_0)(x - x_0) &= 0 - f(x_0) \\x &= x_0 - \frac{f(x_0)}{f'(x_0)}.\end{aligned}$$

- scoțând pe  $x$  din această ecuație, obținem o aproximare a rădăcinii, pe care o notăm cu  $x_1$
- apoi, întreg procesul este repetat, începând cu  $x_1$ , pentru a-l produce pe  $x_2$ , și așa mai departe, rezultând astfel următoarea formulă iterativă:

### Algoritmul 2 (Metoda lui Newton)

$x_0$  = valoarea inițială

$x_{i+1} = x_i - \frac{f(x_i)}{f'(x_i)}$  for  $i = 0, 1, 2, \dots$

## 2.3 Metoda lui Newton

### Exemplul 4

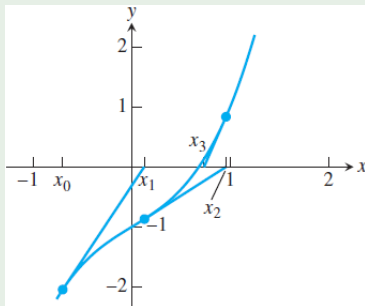
- găsiți formula pentru metoda lui Newton în cazul ecuației  $x^3 + x - 1 = 0$
- deoarece  $f'(x) = 3x^2 + 1$ , formula este dată prin

$$\begin{aligned}x_{i+1} &= x_i - \frac{x_i^3 + x_i - 1}{3x_i^2 + 1} \\ &= \frac{2x_i^3 + 1}{3x_i^2 + 1}.\end{aligned}$$

- iterând această formulă pornind de la valoarea inițială  $x_0 = -0.7$ , obținem

$$\begin{aligned}x_1 &= \frac{2x_0^3 + 1}{3x_0^2 + 1} = \frac{2(-0.7)^3 + 1}{3(-0.7)^2 + 1} \approx 0.1271 \\ x_2 &= \frac{2x_1^3 + 1}{3x_1^2 + 1} \approx 0.9577.\end{aligned}$$

## 2.3 Metoda lui Newton



**Figura 5: Trei pași din metoda lui Newton.** Ilustrarea Exemplului 4. Pornind cu  $x_0 = -0.7$ , iterațiile din metoda lui Newton sunt reprezentate grafic împreună cu dreptele tangente. Se observă că metoda converge către rădăcină.

- acești pași sunt prezentați geometric în Figura 5

## 2.3 Metoda lui Newton

- pașii următori sunt dați în tabelul de mai jos:

$i$	$x_i$	$e_i =  x_i - r $	$e_i/e_{i-1}^2$
0	-0.70000000	1.38232780	
1	0.12712551	0.55520230	0.2906
2	0.95767812	0.27535032	0.8933
3	0.73482779	0.05249999	0.6924
4	0.68459177	0.00226397	0.8214
5	0.68233217	0.00000437	0.8527
6	0.68232780	0.00000000	0.8541
7	0.68232780	0.00000000	

- după doar șase pași, rădăcina este cunoscută cu opt zecimale exacte
- observăm în tabel că în momentul în care convergența începe să apară, numărul de zecimale exacte din  $x_i$  se dublează aproximativ la fiecare iterație
- aceasta este o caracteristică a metodelor „pătratic convergente”, după cum vom vedea în cele ce urmează

## 2.3.1 Convergența pătratică a metodei lui Newton

- convergența din Exemplul 4 este mai rapidă calitativ decât convergența liniară pe care am văzut-o la metoda bisecției și la iterația de punct fix
- o nouă definiție este necesară

### Definiția 4

Fie  $e_i$  eroarea după pasul  $i$  al unei metode iterative. Iterația este **pătratic convergentă** dacă

$$M = \lim_{i \rightarrow \infty} \frac{e_{i+1}}{e_i^2} < \infty.$$

## 2.3.1 Convergența pătratică a metodei lui Newton

### Teorema 4 (Teorema lui Taylor cu rest)

Fie  $x$  și  $x_0$  numere reale, și fie  $f$  o funcție de  $k + 1$  ori derivabilă cu derivate continue pe intervalul dintre  $x$  și  $x_0$ . Atunci există un număr  $c$  între  $x$  și  $x_0$  astfel încât

$$\begin{aligned} f(x) = & f(x_0) + f'(x_0)(x - x_0) + \frac{f''(x_0)}{2!}(x - x_0)^2 + \frac{f'''(x_0)}{3!}(x - x_0)^3 \\ & + \cdots + \frac{f^{(k)}(x_0)}{k!}(x - x_0)^k + \frac{f^{(k+1)}(c)}{(k+1)!}(x - x_0)^{k+1}. \end{aligned}$$

### Teorema 5

Fie  $f$  de două ori derivabilă cu derivata continuă și  $f(r) = 0$ . Dacă  $f'(r) \neq 0$ , atunci metoda lui Newton este local și pătratic convergentă la  $r$ . Eroarea  $e_i$  la pasul  $i$  satisface

$$\lim_{i \rightarrow \infty} \frac{e_{i+1}}{e_i^2} = M, \text{ unde } M = \left| \frac{f''(r)}{2f'(r)} \right|.$$



## 2.3.1 Convergența pătratică a metodei lui Newton

- pentru a demonstra local convergența, observăm că metoda lui Newton este o formă particulară a iterației de punct fix, unde

$$g(x) = x - \frac{f(x)}{f'(x)},$$

cu derivata

$$g'(x) = 1 - \frac{f'(x)^2 - f(x)f''(x)}{f'(x)^2} = \frac{f(x)f''(x)}{f'(x)^2}.$$

- deoarece  $g'(r) = 0$ , metoda lui Newton este local convergentă conform Teoremei 2
- pentru a demonstra convergența pătratică, deducem metoda lui Newton într-un alt mod, fiind atenți de data aceasta la eroarea de la fiecare pas
- prin eroare, înțelegem diferența dintre valoarea corectă a rădăcinii și cea mai bună aproximare curentă
- formula lui Taylor din Teorema 4 ne dă diferența dintre valorile unei funcții într-un anumit punct și un alt punct aflat în apropierea acestuia

## 2.3.1 Convergența pătratică a metodei lui Newton

- pentru cele două puncte, vom folosi rădăcina  $r$  și aproximarea curentă  $x_i$  după  $i$  pași, și ne vom opri și vom lua restul după doi termeni:

$$f(r) = f(x_i) + (r - x_i)f'(x_i) + \frac{(r - x_i)^2}{2}f''(c_i).$$

- aici,  $c_i$  este între  $x_i$  și  $r$
- deoarece  $r$  este rădăcina, avem că

$$\begin{aligned} 0 &= f(x_i) + (r - x_i)f'(x_i) + \frac{(r - x_i)^2}{2}f''(c_i) \\ -\frac{f(x_i)}{f'(x_i)} &= r - x_i + \frac{(r - x_i)^2}{2} \frac{f''(c_i)}{f'(x_i)}, \end{aligned}$$

presupunând că  $f'(x_i) \neq 0$

## 2.3.1 Convergența pătratică a metodei lui Newton

- rearanjând, putem compara următoarea iterație Newton cu rădăcina:

$$\begin{aligned}x_i - \frac{f(x_i)}{f'(x_i)} - r &= \frac{(r - x_i)^2}{2} \frac{f''(c_i)}{f'(x_i)} \\x_{i+1} - r &= e_i^2 \frac{f''(c_i)}{2f'(x_i)} \\e_{i+1} &= e_i^2 \left| \frac{f''(c_i)}{2f'(x_i)} \right|. \quad (15)\end{aligned}$$

- în această ecuație, am definit eroarea la pasul  $i$  ca fiind  $e_i = |x_i - r|$
- deoarece  $c_i$  se află între  $r$  și  $x_i$ , acesta converge la  $r$  la fel ca  $x_i$ , și

$$\lim_{i \rightarrow \infty} \frac{e_{i+1}}{e_i^2} = \left| \frac{f''(r)}{2f'(r)} \right|,$$

adică exact definiția convergenței pătratice

- formula de eroare (15) pe care am dedus-o, poate fi văzută ca

$$e_{i+1} \approx M e_i^2, \quad (16)$$

unde  $M = |f''(r)/2f'(r)|$ , presupunând că  $f'(r) \neq 0$

## 2.3.1 Convergența pătratică a metodei lui Newton

- aproximarea devine mai bună pe măsură ce metoda lui Newton converge, deoarece aproximările  $x_i$  se deplasează spre  $r$ , și deoarece  $c_i$  este prins între  $x_i$  și  $r$
- această formulă de eroare trebuie comparată cu  $e_{i+1} \approx Se_i$  de la metodele liniar convergente, unde  $S = |g'(r)|$  pentru IPF și  $S = 1/2$  pentru metoda bisecției
- deși valoarea lui  $S$  este critică pentru metodele liniar convergente, valoarea lui  $M$  este mai puțin critică, deoarece formula implică pătratul erorii anterioare
- odată ce eroarea devine semnificativ mai mică decât 1, ridicarea ei la pătrat va determina o scădere suplimentară; câtă vreme  $M$  nu este foarte mare, eroarea potrivit lui (16) va descrește de asemenea
- întorcându-ne la Exemplul 4, putem analiza tabelul de ieșire pentru a demonstra această rată de eroare
- coloana din dreapta prezintă raportul  $e_i/e_{i-1}^2$ , care, conform formulei de eroare pentru metoda lui Newton (16), ar trebui să tindă la  $M$  pe măsură ce are loc convergența către rădăcină
- pentru  $f(x) = x^3 + x - 1$ , derivatele sunt  $f'(x) = 3x^2 + 1$  și  $f''(x) = 6x$ ; evaluând în  $x_c \approx 0.6823$  obținem  $M \approx 0.85$ , ceea ce este în acord cu raportul de eroare din coloana din dreapta a tabelului

## 2.3.2 Convergența liniară a metodei lui Newton

- Teorema 5 nu ne spune dacă metoda lui Newton converge întotdeauna pătratic
- să ne amintim că trebuie să împărțim cu  $f'(r)$  pentru ca argumentul de convergență pătratică să aibă sens
- această presupunere se dovedește a fi crucială
- următorul exemplu prezintă o situație în care metoda lui Newton nu converge pătratic:

### Exemplul 5

- folosiți metoda lui Newton pentru a găsi o rădăcină a lui  $f(x) = x^2$
- aceasta poate părea o problemă banală, deoarece știm că există o singură rădăcină:  $r = 0$
- dar de multe ori este instructiv să aplicăm o metodă nouă pe un exemplu pe care îl înțelegem foarte bine

## 2.3.2 Convergența liniară a metodei lui Newton

- formula pentru metoda lui Newton este

$$\begin{aligned}x_{i+1} &= x_i - \frac{f(x_i)}{f'(x_i)} \\&= x_i - \frac{x_i^2}{2x_i} \\&= \frac{x_i}{2}.\end{aligned}$$

- rezultatul surprinzător este că metoda lui Newton se reduce la împărțirea la 2
- deoarece rădăcina este  $r = 0$ , avem următorul tabel de iterații Newton pentru valoarea inițială  $x_0 = 1$ :

## 2.3.2 Convergența liniară a metodei lui Newton

$i$	$x_i$	$e_i =  x_i - r $	$e_i/e_{i-1}$
0	1.000	1.000	
1	0.500	0.500	0.500
2	0.250	0.250	0.500
3	0.125	0.125	0.500
$\vdots$	$\vdots$	$\vdots$	$\vdots$

- metoda lui Newton converge către rădăcina  $r = 0$
- formula de eroare este  $e_{i+1} = e_i/2$ , deci convergența este liniară cu constanta de proporționalitate a convergenței  $S = 1/2$
- metoda lui Newton, la fel ca IPF, s-ar putea să nu convergă la o rădăcină
- următorul exemplu prezintă doar unul dintre posibilele comportamente neconvergente ale metodei

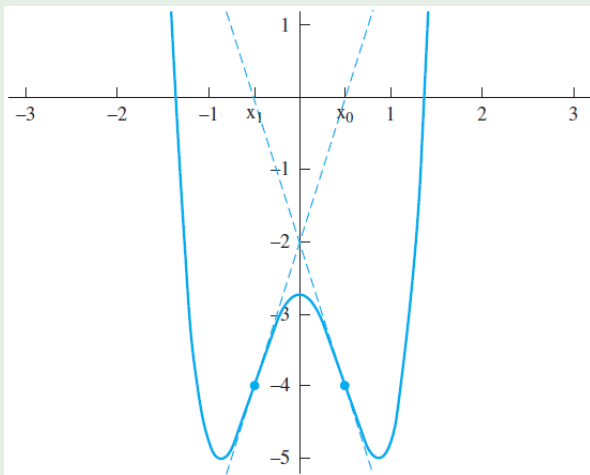
## 2.3.2 Convergența liniară a metodei lui Newton

### Exemplul 6

- aplicați metoda lui Newton pentru  $f(x) = 4x^4 - 6x^2 - 11/4$  cu valoarea inițială  $x_0 = 1/2$
- această funcție are rădăcini, deoarece este continuă, negativă în  $x = 0$ , și tinde la plus infinit pentru valori mari pozitive sau valori mari negative ale lui  $x$
- totuși, nicio rădăcină nu va fi găsită pentru valoarea inițială  $x_0 = 1/2$ , după cum se prezintă în Figura 6



## 2.3.2 Convergența liniară a metodei lui Newton



**Figura 6: Eșecul metodei lui Newton în Exemplul 6.** Iterația alternează între  $1/2$  și  $-1/2$ , și nu converge către o rădăcină.

## 2.3.2 Convergența liniară a metodei lui Newton

- formula lui Newton este

$$x_{i+1} = x_i - \frac{4x_i^4 - 6x_i^2 - 11/4}{16x_i^3 - 12x_i}. \quad (17)$$

- înlocuind obținem  $x_1 = -1/2$ , și apoi din nou  $x_2 = 1/2$
- metoda lui Newton alternează pe acest exemplu între două numere  $1/2$  și  $-1/2$ , care nu sunt rădăcini, și eșuează în găsirea unei rădăcini
- metoda lui Newton poate eșua și în alte moduri
- evident, dacă  $f'(x_i) = 0$  la orice pas al iterației, metoda nu poate să continue
- sunt și alte exemple în care iterația diverge la infinit sau imită un generator de numere aleatoare
- deși nu orice valoare inițială conduce la convergența către o rădăcină, Teorema 5 garantează existența unei vecinătăți de valori inițiale a fiecărei rădăcini, pentru care convergența la acea rădăcină este asigurată

## 2.4 Găsirea rădăcinilor fără derivate

- metoda lui Newton converge mai repede decât metoda bisecției și decât iterația de punct fix
- atinge această rată de convergență mai rapidă deoarece utilizează mai multe informații—în particular, informații despre dreapta tangentă la funcție, care vine din derivata funcției
- în anumite circumstanțe însă, derivata s-ar putea să nu fie disponibilă
- metoda secantei este un bun înlocuitor pentru metoda lui Newton, în acest caz
- înlocuiește dreapta tangentă cu o aproximare a acesteia, numită dreapta secantă, și converge aproape la fel de repede

## 2.4.1 Metoda secantei și o variantă a ei

- metoda secantei este asemănătoare metodei lui Newton, dar înlocuiește derivata cu un raport de diferențe
- din punct de vedere geometric, dreapta tangentă este înlocuită cu o dreaptă care trece prin ultimele două aproximări
- punctul de intersecție al dreptei secante cu axa  $x$  este noua aproximare
- o aproximare a derivatei în punctul curent  $x_i$  este dată de raportul de diferențe

$$\frac{f(x_i) - f(x_{i-1})}{x_i - x_{i-1}}.$$

- înlocuind această aproximare pentru  $f'(x_i)$  în metoda lui Newton, obținem metoda secantei

### Algoritmul 3 (Metoda secantei)

$x_0, x_1$  = valorile inițiale

$x_{i+1} = x_i - \frac{f(x_i)(x_i - x_{i-1})}{f(x_i) - f(x_{i-1})}$  for  $i = 1, 2, 3, \dots$

- spre deosebire de iterația de punct fix și de metoda lui Newton, este nevoie de două valori inițiale pentru a porni metoda secantei

## 2.4.1 Metoda secantei și o variantă a ei

- se poate demonstra că, în ipoteza că metoda secantei converge la  $r$  și  $f'(r) \neq 0$ , relația de eroare aproximativă

$$e_{i+1} \approx \left| \frac{f''(r)}{2f'(r)} \right| e_i e_{i-1}$$

are loc, și aceasta implică

$$e_{i+1} \approx \left| \frac{f''(r)}{2f'(r)} \right|^{\alpha-1} e_i^{\alpha},$$

unde  $\alpha = (1 + \sqrt{5})/2 \approx 1.62$

- convergența metodei secantei către rădăcină este numită **superliniară**, ceea ce înseamnă că este între metodele liniar și pătratic convergente

## 2.4.1 Metoda secantei și o variantă a ei

### Exemplul 7

- aplicați metoda secantei cu valorile inițiale  $x_0 = 0$ ,  $x_1 = 1$  pentru a găsi rădăcina lui  $f(x) = x^3 + x - 1$
- formula devine

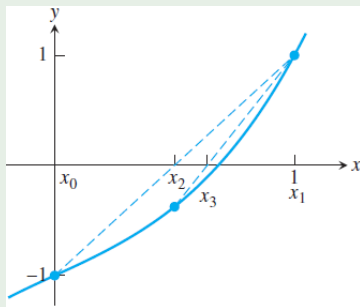
$$x_{i+1} = x_i - \frac{(x_i^3 + x_i - 1)(x_i - x_{i-1})}{x_i^3 + x_i - (x_{i-1}^3 + x_{i-1})}. \quad (18)$$

- pornind de la  $x_0 = 0$  și  $x_1 = 1$ , putem calcula

$$\begin{aligned} x_2 &= 1 - \frac{(1)(1-0)}{1+1-0} = \frac{1}{2} \\ x_3 &= \frac{1}{2} - \frac{-\frac{3}{8}(1/2-1)}{-\frac{3}{8}-1} = \frac{7}{11}, \end{aligned}$$

după cum se arată în Figura 7

## 2.4.1 Metoda secantei și o variantă a ei



**Figura 7: Doi pași din metoda secantei.** Ilustrarea Exemplului 7. Pornind de la  $x_0 = 0$  și  $x_1 = 1$ , iterațiile metodei secantei sunt reprezentate grafic împreună cu dreptele secante.

## 2.4.1 Metoda secantei și o variantă a ei

- următoarele iterații sunt date în tabelul de mai jos:

$i$	$x_i$
0	0.000000000000000
1	1.000000000000000
2	0.500000000000000
3	0.636363636363636
4	0.69005235602094
5	0.68202041964819
6	0.68232578140989
7	0.68232780435903
8	0.68232780382802
9	0.68232780382802



## 2.4.1 Metoda secantei și o variantă a ei

- există o generalizare a metodei secantei care este de asemenea importantă
- **metoda falsei poziții**, sau **regula falsi**, este asemănătoare cu metoda bisecției, în care mijlocul este înlocuit cu o aproximare similară celei din metoda secantei
- dându-se un interval  $[a, b]$  în care se află o rădăcină (presupunem că  $f(a)f(b) < 0$ ), definim următorul punct

$$c = a - \frac{f(a)(a - b)}{f(a) - f(b)} = \frac{bf(a) - af(b)}{f(a) - f(b)}$$

ca în metoda secantei, dar, spre deosebire de metoda secantei, este garantat că noul punct se află în  $[a, b]$ , deoarece punctele  $(a, f(a))$  și  $(b, f(b))$  se află de părți diferite ale axei  $x$

- noul interval, ori  $[a, c]$ , ori  $[c, b]$ , este ales depinzând dacă avem  $f(a)f(c) < 0$  sau, respectiv,  $f(c)f(b) < 0$ , și va conține în mod sigur rădăcina

## 2.4.1 Metoda secantei și o variantă a ei

### Algoritmul 4 (Metoda falsei poziții)

Dându-se intervalul  $[a, b]$  astfel încât  $f(a)f(b) < 0$

**for**  $i = 1, 2, 3, \dots$

$$c = \frac{bf(a) - af(b)}{f(a) - f(b)}$$

**if**  $f(c) = 0$ , **stop**, **end**

**if**  $f(a)f(c) < 0$

$$b = c$$

**else**

$$a = c$$

**end**

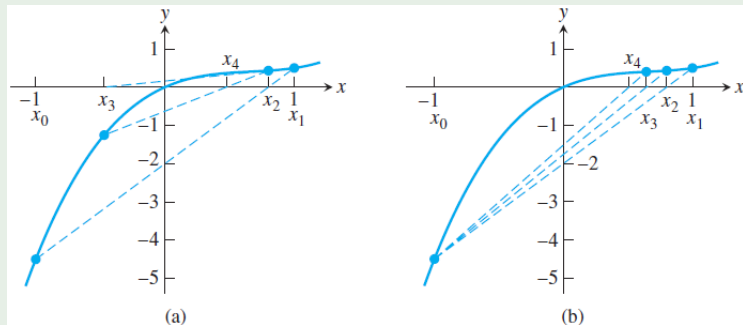
**end**

- metoda falsei poziții pare la prima vedere să fie o îmbunătățire atât a metodei bisecției cât și a metodei secantei, preluând cele mai bune proprietăți ale fiecăreia
- totuși, câtă vreme metoda bisecției garantează reducerea incertitudinii cu un factor de  $1/2$  la fiecare pas, în cazul metodei falsei poziții nu există o astfel de garanție, și pentru anumite exemple poate converge foarte încet

## 2.4.1 Metoda secantei și o variantă a ei

### Exemplul 8

- aplicați metoda falsei poziții pe intervalul inițial  $[-1, 1]$  pentru a găsi rădăcina  $r = 0$  a lui  $f(x) = x^3 - 2x^2 + \frac{3}{2}x$



**Figura 8: Convergența lentă în Exemplul 8.** Atât (a) metoda secantei cât și (b) metoda falsei poziții converg lent către rădăcina  $r = 0$ .

## 2.4.1 Metoda secantei și o variantă a ei

- dându-se  $x_0 = -1$ ,  $x_1 = 1$  ca interval inițial, calculăm noul punct

$$x_2 = \frac{x_1 f(x_0) - x_0 f(x_1)}{f(x_0) - f(x_1)} = \frac{1(-9/2) - (-1)1/2}{-9/2 - 1/2} = \frac{4}{5}.$$

- deoarece  $f(-1)f(4/5) < 0$ , noul interval este  $[x_0, x_2] = [-1, 0.8]$
- aceasta încheie primul pas
- observăm că incertitudinea soluției a scăzut cu mult mai puțin decât un factor de  $1/2$
- după cum arată Figura 8(b), următorii pași continuă să facă progrese lente spre rădăcina  $x = 0$

Vă mulțumesc!